

# Aproximace pevnosti svazku křehkých vláken

Václav Sadílek

Vysoké učení technické v Brně, Fakulta stavební, Ústav stavební mechaniky

21. května 2015



INVESTICE DO ROZVOJE VZDĚLÁVÁNÍ

Podpora tvorby excelentních týmů mezioborového výzkumu na VUT, CZ.1.07/2.3.00/30.0005

# Osnova

1. Motivace

2. Distribuční funkce pevnosti

3. Implementace

4. Databáze

5. Aproximace

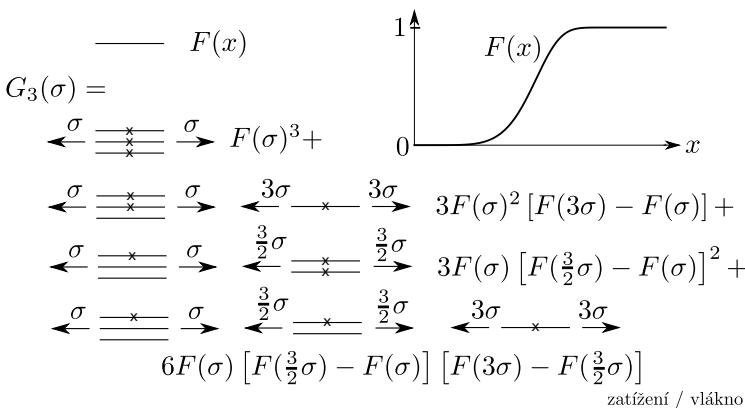
6. Závěr

## Motivace

- ▶ využití známého vztahu pro výpočet distribuční funkce pevnosti svazku z křehkých vláken [Daniels, 45]
- ▶ navržení approximace, která by umožnila získat hodnoty distribuční funkce bez nutnosti časově náročného výpočtu rekurze
- ▶ zlepšení approximace směrodatné odchylky pevnosti svazku vláken

## Svazek ze 3 křehkých vláken

- po porušení jednoho vlákna se zatížení rovnoměrně rozdělí na zbývající vlákna



## Pevnost svazku křehkých vláken

- distribuční funkce pevnosti svazku křehkých vláken (rekurzivní vztah)

$$G_n(x) = P(Q_n^* \leq x) = \sum_{k=1}^n (-1)^{k+1} \binom{n}{k} [F(x)]^k G_{n-k}\left(\frac{nx}{n-k}\right),$$

kde  $G_1(x) \equiv F(x)$ ,  $G_0(x) \equiv 1$  a  $\binom{n}{k} = \frac{n!}{(n-k)! k!}$

- distribuční funkce pevnosti jednoho vlákna má Weibullovo rozdělení

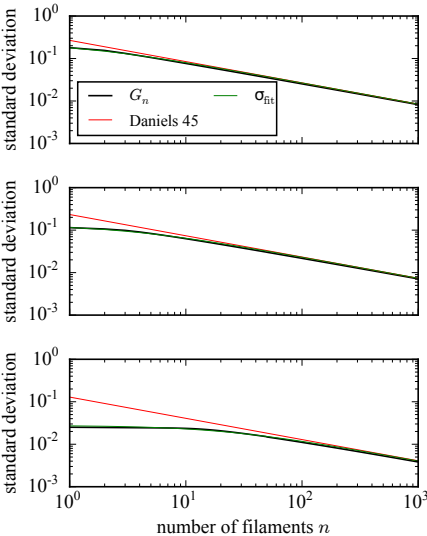
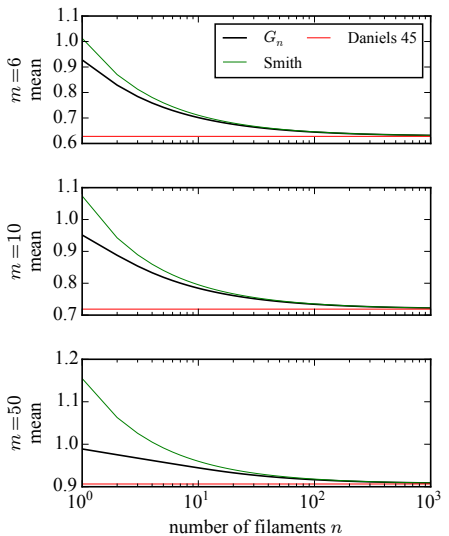
$$F(x) = 1 - \exp\left[-\left(\frac{x}{s}\right)^m\right]$$

- aproximace pomocí normálního rozdělení  $N(\mu_S, \sigma_D)$  pro  $n \rightarrow \infty$

$$\mu_S = m^{\frac{-1}{m}} s \cdot c + n^{\frac{-2}{3}} s \cdot m^{-\left(\frac{1}{m} + \frac{1}{3}\right)} e^{\frac{-1}{3m}} 0.996$$

$$\sigma_D = m^{\frac{-1}{m}} s \sqrt{\frac{c(1-c)}{n}}, \quad c = e^{\frac{-1}{m}}$$

# Pevnost svazku křehkých vláken

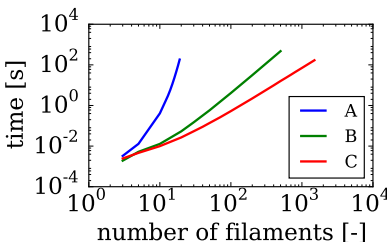
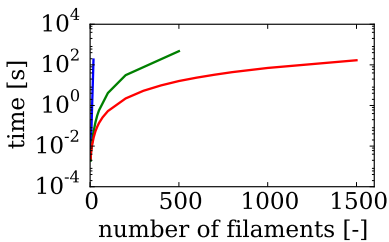


# Implementace

- ▶ programovací jazyk Python
- ▶ numpy balík pro práci s numerickými daty
- ▶ mpmath knihovna pro výpočty s rozšířenou přesností čísel
- ▶ použito 1000 desetinných míst (3325 bits)

## Implementace

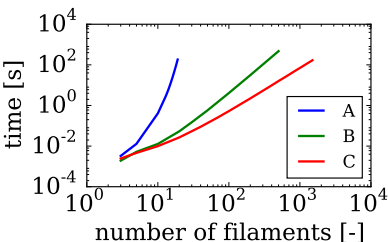
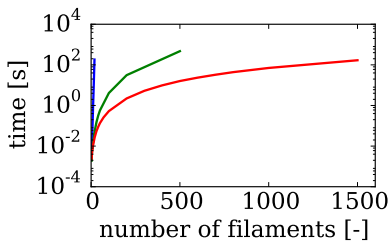
- A rekurze – nejbližší k matematické definici ( $2^n - 1$  volání, např.  
 $n = 50 \Rightarrow 10^{15}$  volání)
- B rekurze s ukládáním (memoization) – uložené výsledky jsou opětovně použity ( $\frac{(n-2)^2(n-1)}{2} - \frac{(n-3)(n-2)(n-1)}{3}$  přístupů, např.  
 $n = 50 \Rightarrow 19600$ )
- C implementace pomocí cyklů a ukládání



# Implementace

$n_f$	A	B	C
50	8094 let	0.58 s	0.12 s
1000	$2.5 \cdot 10^{284}$ let	1 h	70 s
1500	—	3.5 h	167 s

[Dell T7610, 2x Intel Xeon E5-2687w, 192 GB, Kubuntu 14.04]



## Diagram implementace

- rekurzivní vztah rozdělen do tří částí

$$G_n(x) = \sum_{k=1}^n \underbrace{(-1)^{k+1} \binom{n}{k}}_{B_{i,k}} \underbrace{[F(x)]^k}_{F_i} \underbrace{G_{n-k}\left(x \frac{n}{n-k}\right)}_{S_i}$$

- počet unikátních  $x_i$  a  $F_i$  je  $n$   
 $x_i = x \frac{n}{i}$ ,  $F_i = F(x_i)$ ,  $i = 1, \dots, n$
- 2D pole – číslo sloupce  $k$  (modrá), číslo řádku  $i$  (červená)



## Diagram implementace

- rekurzivní vztah rozdělen do tří částí

$$G_n(x) = \sum_{k=1}^n \underbrace{(-1)^{k+1} \binom{n}{k}}_{B_{i,k}} \underbrace{[F(x)]^k}_{F_i} \underbrace{G_{n-k}\left(x \frac{n}{n-k}\right)}_{S_i}$$

- počet unikátních  $x_i$  a  $F_i$  je  $n$
- $x_i = x \frac{n}{i}$ ,  $F_i = F(x_i)$ ,  $i = 1, \dots, n$
- 2D pole – číslo sloupce  $k$  (modrá), číslo řádku  $i$  (červená)

$$\begin{bmatrix} B_{1,1} \\ B_{2,1} & B_{2,2} \\ B_{3,1} & B_{3,2} & B_{3,3} \\ B_{4,1} & B_{4,2} & B_{4,3} & B_{4,4} \end{bmatrix}$$

## Diagram implementace

- rekurzivní vztah rozdělen do tří částí

$$G_n(x) = \sum_{k=1}^n \underbrace{(-1)^{k+1} \binom{n}{k}}_{B_{i,k}} \underbrace{[F(x)]^k}_{F_i} \underbrace{G_{n-k}\left(x \frac{n}{n-k}\right)}_{S_i}$$

- počet unikátních  $x_i$  a  $F_i$  je  $n$
- $x_i = x \frac{n}{i}$ ,  $F_i = F(x_i)$ ,  $i = 1, \dots, n$
- 2D pole – číslo sloupce  $k$  (modrá), číslo řádku  $i$  (červená)

$$\begin{bmatrix} B_{1,1} F_1^1 & & & \\ B_{2,1} F_2^1 & B_{2,2} & & \\ B_{3,1} F_3^1 & B_{3,2} & B_{3,3} & \\ B_{4,1} F_4^1 & B_{4,2} & B_{4,3} & B_{4,4} \end{bmatrix}$$

## Diagram implementace

- rekurzivní vztah rozdělen do tří částí

$$G_n(x) = \sum_{k=1}^n \underbrace{(-1)^{k+1} \binom{n}{k}}_{B_{i,k}} \underbrace{[F(x)]^k}_{F_i} \underbrace{G_{n-k}\left(x \frac{n}{n-k}\right)}_{S_i}$$

- počet unikátních  $x_i$  a  $F_i$  je  $n$
- $x_i = x \frac{n}{i}$ ,  $F_i = F(x_i)$ ,  $i = 1, \dots, n$
- 2D pole – číslo sloupce  $k$  (modrá), číslo řádku  $i$  (červená)

$$\begin{bmatrix} B_{1,1} F_1^1 & & & \\ B_{2,1} F_2^1 & B_{2,2} F_2^2 & & \\ B_{3,1} F_3^1 & B_{3,2} F_3^2 & B_{3,3} & \\ B_{4,1} F_4^1 & B_{4,2} F_4^2 & B_{4,3} & B_{4,4} \end{bmatrix}$$

## Diagram implementace

- rekurzivní vztah rozdělen do tří částí

$$G_n(x) = \sum_{k=1}^n \underbrace{(-1)^{k+1} \binom{n}{k}}_{B_{i,k}} \underbrace{[F(x)]^k}_{F_i} \underbrace{G_{n-k}\left(x \frac{n}{n-k}\right)}_{S_i}$$

- počet unikátních  $x_i$  a  $F_i$  je  $n$
- $x_i = x \frac{n}{i}$ ,  $F_i = F(x_i)$ ,  $i = 1, \dots, n$
- 2D pole – číslo sloupce  $k$  (modrá), číslo řádku  $i$  (červená)

$$\begin{bmatrix} B_{1,1} F_1^1 & & & \\ B_{2,1} F_2^1 & B_{2,2} F_2^2 & & \\ B_{3,1} F_3^1 & B_{3,2} F_3^2 & B_{3,3} F_3^3 & \\ B_{4,1} F_4^1 & B_{4,2} F_4^2 & B_{4,3} F_4^3 & B_{4,4} \end{bmatrix}$$

## Diagram implementace

- rekurzivní vztah rozdělen do tří částí

$$G_n(x) = \sum_{k=1}^n \underbrace{(-1)^{k+1} \binom{n}{k}}_{B_{i,k}} \underbrace{[F(x)]^k}_{F_i} \underbrace{G_{n-k}\left(x \frac{n}{n-k}\right)}_{S_i}$$

- počet unikátních  $x_i$  a  $F_i$  je  $n$   
 $x_i = x \frac{n}{i}$ ,  $F_i = F(x_i)$ ,  $i = 1, \dots, n$
- 2D pole – číslo sloupce  $k$  (modrá), číslo řádku  $i$  (červená)

$$\begin{bmatrix} B_{1,1} F_1^1 & & & \\ B_{2,1} F_2^1 & B_{2,2} F_2^2 & & \\ B_{3,1} F_3^1 & B_{3,2} F_3^2 & B_{3,3} F_3^3 & \\ B_{4,1} F_4^1 & B_{4,2} F_4^2 & B_{4,3} F_4^3 & B_{4,4} F_4^4 \end{bmatrix}$$

## Diagram implementace

- rekurzivní vztah rozdělen do tří částí

$$G_n(x) = \sum_{k=1}^n \underbrace{(-1)^{k+1} \binom{n}{k}}_{B_{i,k}} \underbrace{[F(x)]^k}_{F_i} \underbrace{G_{n-k}\left(x \frac{n}{n-k}\right)}_{S_i}$$

- počet unikátních  $x_i$  a  $F_i$  je  $n$
- $x_i = x \frac{n}{i}$ ,  $F_i = F(x_i)$ ,  $i = 1, \dots, n$
- 2D pole – číslo sloupce  $k$  (modrá), číslo řádku  $i$  (červená)

$$S_1 = \sum \begin{bmatrix} B_{1,1} F_1^1 & & & \\ B_{2,1} F_2^1 & B_{2,2} F_2^2 & & \\ B_{3,1} F_3^1 & B_{3,2} F_3^2 & B_{3,3} F_3^3 & \\ B_{4,1} F_4^1 & B_{4,2} F_4^2 & B_{4,3} F_4^3 & B_{4,4} F_4^4 \end{bmatrix}$$

## Diagram implementace

- rekurzivní vztah rozdělen do tří částí

$$G_n(x) = \sum_{k=1}^n \underbrace{(-1)^{k+1}}_{B_{i,k}} \binom{n}{k} \underbrace{[F(x)]^k}_{F_i} \underbrace{G_{n-k}\left(x \frac{n}{n-k}\right)}_{S_i}$$

- počet unikátních  $x_i$  a  $F_i$  je  $n$
- $x_i = x \frac{n}{i}$ ,  $F_i = F(x_i)$ ,  $i = 1, \dots, n$
- 2D pole – číslo sloupce  $k$  (modrá), číslo řádku  $i$  (červená)

$$S_1 = \sum \begin{bmatrix} B_{1,1} F_1^1 & & & \\ B_{2,1} F_2^1 S_1 & B_{2,2} F_2^2 & & \\ B_{3,1} F_3^1 & B_{3,2} F_3^2 S_1 & B_{3,3} F_3^3 & \\ B_{4,1} F_4^1 & B_{4,2} F_4^2 & B_{4,3} F_4^3 S_1 & B_{4,4} F_4^4 \end{bmatrix}$$

## Diagram implementace

- rekurzivní vztah rozdělen do tří částí

$$G_n(x) = \sum_{k=1}^n \underbrace{(-1)^{k+1} \binom{n}{k}}_{B_{i,k}} \underbrace{[F(x)]^k}_{F_i} \underbrace{G_{n-k}\left(x \frac{n}{n-k}\right)}_{S_i}$$

- počet unikátních  $x_i$  a  $F_i$  je  $n$
- $x_i = x \frac{n}{i}$ ,  $F_i = F(x_i)$ ,  $i = 1, \dots, n$
- 2D pole – číslo sloupce  $k$  (modrá), číslo řádku  $i$  (červená)

$$S_1 = \sum B_{1,1} F_1^1$$

$$S_2 = \sum \begin{bmatrix} B_{2,1} F_2^1 & B_{2,2} F_2^2 \\ B_{3,1} F_3^1 & B_{3,2} F_3^2 S_1 & B_{3,3} F_3^3 \\ B_{4,1} F_4^1 & B_{4,2} F_4^2 & B_{4,3} F_4^3 S_1 & B_{4,4} F_4^4 \end{bmatrix}$$

## Diagram implementace

- rekurzivní vztah rozdělen do tří částí

$$G_n(x) = \sum_{k=1}^n \underbrace{(-1)^{k+1} \binom{n}{k}}_{B_{i,k}} \underbrace{[F(x)]^k}_{F_i} \underbrace{G_{n-k}\left(x \frac{n}{n-k}\right)}_{S_i}$$

- počet unikátních  $x_i$  a  $F_i$  je  $n$
- $x_i = x \frac{n}{i}$ ,  $F_i = F(x_i)$ ,  $i = 1, \dots, n$
- 2D pole – číslo sloupce  $k$  (modrá), číslo řádku  $i$  (červená)

$$S_1 = \sum B_{1,1} F_1^1$$

$$S_2 = \sum \begin{bmatrix} B_{2,1} F_2^1 & B_{2,2} F_2^2 \\ B_{3,1} F_3^1 S_2 & B_{3,2} F_3^2 S_1 & B_{3,3} F_3^3 \\ B_{4,1} F_4^1 & B_{4,2} F_4^2 S_2 & B_{4,3} F_4^3 S_1 & B_{4,4} F_4^4 \end{bmatrix}$$

## Diagram implementace

- rekurzivní vztah rozdělen do tří částí

$$G_n(x) = \sum_{k=1}^n \underbrace{(-1)^{k+1} \binom{n}{k}}_{B_{i,k}} \underbrace{[F(x)]^k}_{F_i} \underbrace{G_{n-k}\left(x \frac{n}{n-k}\right)}_{S_i}$$

- počet unikátních  $x_i$  a  $F_i$  je  $n$
- $x_i = x \frac{n}{i}$ ,  $F_i = F(x_i)$ ,  $i = 1, \dots, n$
- 2D pole – číslo sloupce  $k$  (modrá), číslo řádku  $i$  (červená)

$$\begin{aligned} S_1 &= \sum B_{1,1} F_1^1 \\ S_2 &= \sum \begin{bmatrix} B_{2,1} F_2^1 & S_1 & B_{2,2} F_2^2 \\ & & \end{bmatrix} \\ S_3 &= \sum \begin{bmatrix} B_{3,1} F_3^1 & S_2 & B_{3,2} F_3^2 & S_1 & B_{3,3} F_3^3 \\ & & & & \\ B_{4,1} F_4^1 & B_{4,2} F_4^2 & S_2 & B_{4,3} F_4^3 & S_1 & B_{4,4} F_4^4 \end{bmatrix} \end{aligned}$$

## Diagram implementace

- rekurzivní vztah rozdělen do tří částí

$$G_n(x) = \sum_{k=1}^n \underbrace{(-1)^{k+1} \binom{n}{k}}_{B_{i,k}} \underbrace{[F(x)]^k}_{F_i} \underbrace{G_{n-k}\left(x \frac{n}{n-k}\right)}_{S_i}$$

- počet unikátních  $x_i$  a  $F_i$  je  $n$   
 $x_i = x \frac{n}{i}$ ,  $F_i = F(x_i)$ ,  $i = 1, \dots, n$
- 2D pole – číslo sloupce  $k$  (modrá), číslo řádku  $i$  (červená)

$$\begin{aligned} S_1 &= \sum \quad \left[ \begin{array}{c} B_{1,1} F_1^1 \\ \end{array} \right] \\ S_2 &= \sum \quad \left[ \begin{array}{cc} B_{2,1} F_2^1 S_1 & B_{2,2} F_2^2 \\ \end{array} \right] \\ S_3 &= \sum \quad \left[ \begin{array}{ccc} B_{3,1} F_3^1 S_2 & B_{3,2} F_3^2 S_1 & B_{3,3} F_3^3 \\ \end{array} \right] \\ &\quad \left[ \begin{array}{cccc} B_{4,1} F_4^1 S_3 & B_{4,2} F_4^2 S_2 & B_{4,3} F_4^3 S_1 & B_{4,4} F_4^4 \\ \end{array} \right] \end{aligned}$$

## Diagram implementace

- rekurzivní vztah rozdělen do tří částí

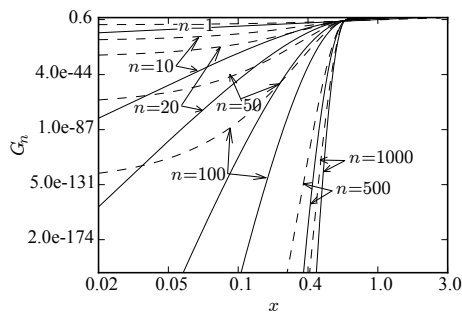
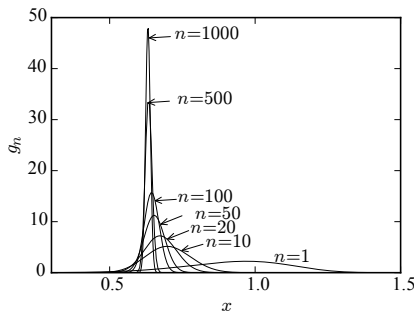
$$G_n(x) = \sum_{k=1}^n \underbrace{(-1)^{k+1}}_{B_{i,k}} \binom{n}{k} \underbrace{[F(x)]^k}_{F_i} \underbrace{G_{n-k}\left(x \frac{n}{n-k}\right)}_{S_i}$$

- počet unikátních  $x_i$  a  $F_i$  je  $n$   
 $x_i = x \frac{n}{i}$ ,  $F_i = F(x_i)$ ,  $i = 1, \dots, n$
- 2D pole – číslo sloupce  $k$  (modrá), číslo řádku  $i$  (červená)

$$\begin{aligned} S_1 &= \sum \quad \left[ \begin{array}{c} B_{1,1} F_1^1 \\ \end{array} \right] \\ S_2 &= \sum \quad \left[ \begin{array}{cc} B_{2,1} F_2^1 S_1 & B_{2,2} F_2^2 \\ \end{array} \right] \\ S_3 &= \sum \quad \left[ \begin{array}{ccc} B_{3,1} F_3^1 S_2 & B_{3,2} F_3^2 S_1 & B_{3,3} F_3^3 \\ \end{array} \right] \\ G_4 &= \sum \quad \boxed{\left[ \begin{array}{cccc} B_{4,1} F_4^1 S_3 & B_{4,2} F_4^2 S_2 & B_{4,3} F_4^3 S_1 & B_{4,4} F_4^4 \\ \end{array} \right]} \end{aligned}$$

## Databáze

- ▶ databáze distribučních funkcí pevnosti pro parametr měřítka  $s = 1$  a proměnlivé:
  - ▶ parametry tvaru  $m = 3-15, 20, 24, 40, 50, (100)$  a
  - ▶ počty vláken  $n = 3-50, 60, 70, 80, 90, 100, 150, 200, 250, 300, 400, 500, 1000, (2000, 3000)$



## Odezva jednoho vlákna

- ▶ Odezva jednoho vlákna ( $\xi$  = mezní přetvoření,  $e$  = přetvoření,  $H(\cdot)$  = Heavisideova funkce)

$$q(e; \xi) = eH(\xi - e)$$

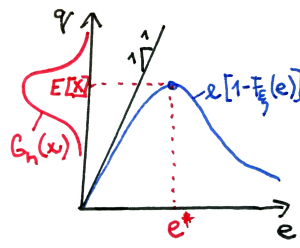
- ▶ střední odezva svazku  $n \rightarrow \infty$

$$\mu(e) = \int_0^\infty eH(\xi - e) dF_\xi(\xi) = e \int_e^\infty f_\xi(\xi) d\xi = e[1 - F_\xi(e)]$$

- ▶ střední hodnota pevnosti svazku

$$E[X] = e^*[1 - F_\xi(e^*)]$$

- ▶ rozptyl pevnosti svazku
- $$D[X] = n \cdot (e^*)^2 \cdot F_\xi(e^*) \cdot [1 - F_\xi(e^*)]$$

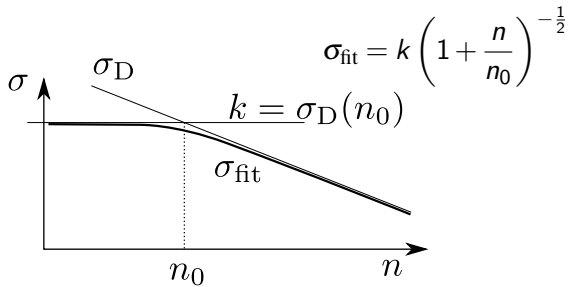


## Aproximace směrodatné odchylky pevnosti svazku

- asymptota směrodatné odchylky pevnosti  $X$  svazku tvořeného Weibullovskými vlákny podle Danielse

$$\sigma_D(n) = \sqrt{D[X]} = \frac{m^{-\frac{1}{m}} s \sqrt{e^{-\frac{1}{m}}(1 - e^{-\frac{1}{m}})}}{\sqrt{n}}$$

- aproximační vztah –  $k =$  levá horizontální asymptota,  $(\cdot)^{-\frac{1}{2}} =$  pravá asymptota se sklonem  $-1/2$ ,  $n_0 =$  průsečík asymptot



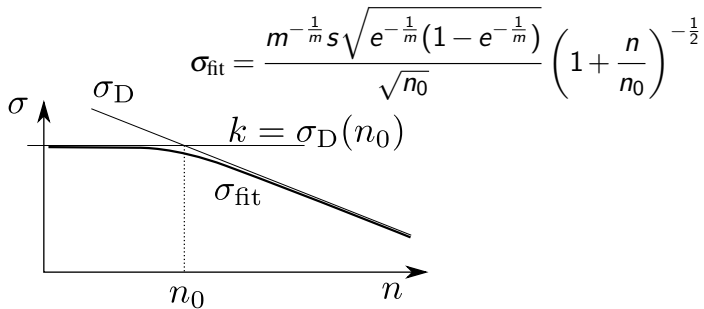
## Aproximace směrodatné odchylky pevnosti svazku

- ▶ požadujeme rovnost dvou asymptot

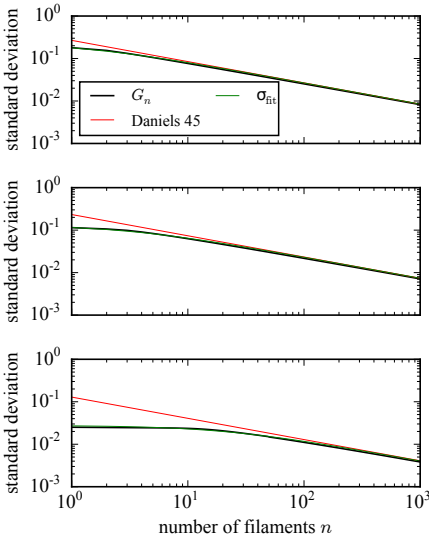
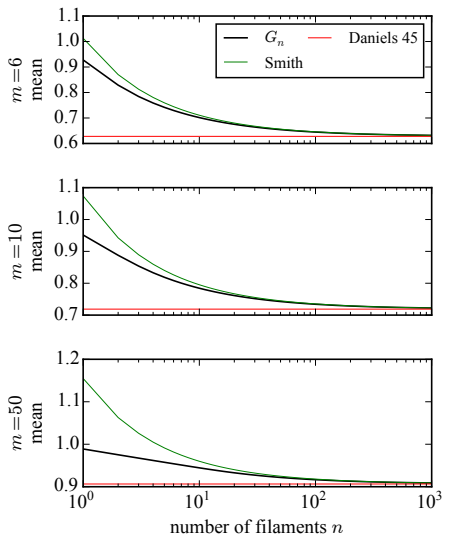
$$\lim_{n \rightarrow \infty} \sigma_{\text{fit}}(n) = \lim_{n \rightarrow \infty} \sigma_D(n).$$

$$k = \sigma_D(n_0)$$

- ▶ vylepšená approximace směrodatné odchylky pevnosti svazku vláken



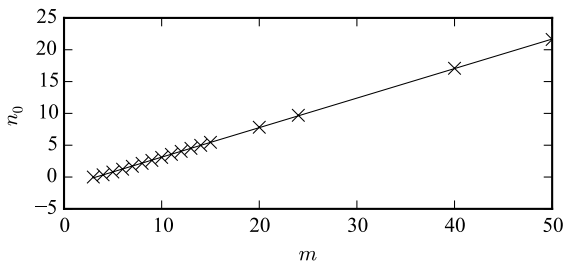
# Aproximace směrodatné odchylky pevnosti svazku



## Parametr $n_0$

- ▶ závislost parametru  $n_0$  na parametru tvaru  $m$  Weibullová rozdělení je přibližně lineární  $m = 3\text{--}50$

$$n_0 = 0.461m - 1.464$$



## Závěr

- ▶ analýzou rekurzivního vztahu distribuční funkce bylo možné vytvořit její implementaci v jazyce Python
- ▶ na základě této implementace bylo možné vytvořit databázi distribučních funkcí pro různé parametry Weibullová rozdělení
- ▶ tato data slouží pro odvození approximační funkce, která by měla vracet hodnoty distribuční funkce bez nutnosti výpočtu rekurze
- ▶ zlepšená approximace směrodatné odchylky pro malé počty vláken



**ENTHOUGHT CANOPY**

**matplotlib**

**NumPy**

**SciPy.org**

**mpmath**  
Python library for arbitrary-precision floating-point arithmetic

**IP[y]: IPython Interactive Computing**

**Traits**  
Diagram illustrating Trait inheritance:

```
graph TD; Class[Class] --> TraitA[Trait A]; Class --> TraitB[Trait B]; Class --> TraitC[Trait C]; TraitA --> SubTraitA[SubTrait A]; TraitA --> SubTraitB[SubTrait B]; TraitB --> SubTraitC[SubTrait C]; TraitC --> SubTraitD[SubTrait D];
```

**Chaco**  
- Enable  
- Kiva

**Mayavi**  
an ETS project

**ETS**

**Envisage**

**Visualization**  
Optimization  
FEM simulation  
CFD simulation  
CSD simulation

Děkuji za pozornost.

## Aproximace pevnosti svazku křehkých vláken

Václav Sadílek

Vysoké učení technické v Brně, Fakulta stavební, Ústav stavební mechaniky

21. května 2015



INVESTICE DO ROZVOJE VZDĚLÁVÁNÍ

Podpora tvorby excelentních týmů mezioborového výzkumu na VUT, CZ.1.07/2.3.00/30.0005